Т.М. Буслаева, С.Ф. Белов, Н.М. Боднарь, Г.Д. Середина, Т.И. Аваева, Е.В.Волчкова, Копылова, Н.И. Сидоренко

## ФИЗИКО-ХИМИЧЕСКИЕ ОСНОВЫ ХИМИИ И ТЕХНОЛОГИИ ПЛАТИНОВЫХ МЕТАЛЛОВ И ИХ СОЕДИНЕНИЙ

УДК 546.9

результаты ратко рассмотрены выполненных в последние годы работ области химии и технологии платиновых металлов. Выполнен синтез палладия(II) комплексов макрогетероциклическими соедине-ниями. Показана возможность применения электрохимического метода для извлечения платиновых металлов из растворов и получения концентратов.

Одним ИЗ основных направлений исследований, проводимых В секторе химии и технологии платиновых металлов кафедры ХиТРРЭ, созданном в 60 - е годы XX века по инициативе члена-корреспондента АН СССР, доктора технических наук, лауреата Государственных премий, профессора К.А.Большакова и много лет руководимом доктором химических наук, Государственной лауреатом премии, профессором Н.М.Синицыным, является создание научных основ высокоэффективных технологических процессов получения платиновых металлов, соединений и материалов. Оно базируется на глубоком знании химии металлов платиновой группы и предполагает, с стороны, изучение процессов одной комплексообразования этих элементов в водных растворах неводных растворителях, а с другой - синтез и идентификацию координационных соединений, в том числе и таких, которые обладают практически полезными свойствами.

В середине 80-х годов под руководством доктора технических наук, лауреата Премии Совета Министров, профессора С.Ф.Белова начались исследования в области электрохимии

платиновых металлов, направленные на создание научных основ технологии их получения из различных видов вторичного сырья.

Целью настоящей работы является обобщение результатов фундаментальных исследований, полученных в рамках так называемого «платинового» направления за последние 3 – 5 лет и имеющих важное практическое значение.

Повышение извлечения платиновых металлов, золота и серебра из первичного и вторичного сырья - это непреходящая задача **ученых** И технологов, благородные металлы уникальны, и их роль в экономике, науке, технике, оборонной отрасли, медицине трудно переоценить. В последние годы ее решение напрямую зависит от внедрения в производство высокоэффективных процесса - технологи «молекулярного распознавания».

Технология «молекулярного использует распознавания» для селективного извлечения ионов химию «гость жинжеох, основанную сочетании многочисленных параметров, таких, как размер иона, геометрия лиганда, координации лиганда, противоположность классической химии, учитывающей какой-либо один параметр. Поэтому она позволяет различать извлекаемые ионы металлов даже, если они находятся в растворе на уровне ррт при высоких концентрациях иных форм (от 0.1 до 100 г/л), в том числе, в сильнокислой среде и на фоне различных комплексообразующих реагентов.

Нам представлялось целесообразным использовать для селективного выделения палладия из растворов, содержащих его в

форме тетрахлоропалладат(II) — иона  $[PdCl_4]^{2^-}$  и отделения палладия от других металлов платиновой группы и сопутствующих цветных и тяжелых

металлов S, O— содержащие макрогетероциклические соединения — нитробездитиакраун-соединения следующего вида (обозначим их  $L^1$  -  $L^4$ ):

$$L^1$$
  $L^2$   $L^3$   $L^4$ 

Синтезированы комплексы палладия с указанными органическими соединениями. Синтез комплексов осуществляли следующим образом: к раствору 0.079 ммоль ацетонитрильного комплекса [PdCl<sub>2</sub>(CH<sub>3</sub>CN)<sub>2</sub>] (продажный реактив фирмы «Sigma») в 3 мл ацетонитрила при перемешивании по каплям добавляли раствор 0.079 ммоль нитробензодитиакраунисходного соединения в 4 мл ацетонитрила [1, 2]. Образующийся тонкодисперсный осадок ярко-желтого цвета отфильтровывали, промывали ацетонитрилом и высушивали на воздухе до постоянной массы. Результаты элементного химического анализа выделенных соединений значения их выходов даны в табл. 1.

Факт образования комплексов, в которых нитробензодитиакраун-соединения ( $L^{1-4}$ ) координируются с палладием(II) как бидентатные лиганды с образованием комплексов с общей формулой  $PdCl_2L$ , был подтвержден данными  $\Pi MP$ - и UK-спектроскопии. На образование комплексов указывает наличие слабо- и сильнопольных

сдвигов сигналов всех протонов в ПМР спектрах макрогетероциклического лиганда по сравнению с ПМР спектрами исходных соединений (табл. 2). В области протонов -СН<sub>2</sub>- групп макрогетероциклов изменение значений химических сдвигов сопровождается мультиизменением плетности уширением сигналов в И спектрах ПМР (табл. 2). Данный факт свидетельствует о значительных изменениях конформаций лигандов в процессе комплексообразования, 0 координации палладия(II) с гетероатомами гетероцикла и, как следствие, значительно усложняет задачу отнесения сигналов к протонам определенных групп (-СН<sub>2</sub>О- и -CH<sub>2</sub>S-).

Строение комплекса, образованного палладием(II) с нитробензодитиа-18-краун-6-соединением, доказано методом РСА (рис. 1). В данном случае наблюдается значительная неупорядоченность структуры в области нитрогруппы, поэтому точность данной структуры низкая (вероятность 50 %).

Таблица 1. Данные о составе комплексов палладия с нитробенздитиасоединениями.

0	Гахутто	Dervor	Результаты химического анализа						
Органический лиганд	Брутто- формула	Выход, %	Вы	численс	, %	Найдено, %			
			C	Н	N	C	Н	N	
$L^1$	$C_{12}H_{15}NO_4S_2PdCl_2$	51	30.11	3.16	2.96	30.3	3.17	3.04	
$L^2$	$C_{14}H_{19}NO_5S_2PdCl_2$	66	32.17	3.66	2.68	32.2	3.89	2.63	
$L^3$	$C_{16}H_{23}NS_2O_6PdCl_2$	30	33.90	4.09	2.47	33.9	4.44	2.80	
$L^4$	$C_{18}H_{27}NO_7S_2PdCl_2$	24	35.39	4.46	2.29	35.3	4.20	2.15	

Таблица 2. Спектральные характеристики комплексов состава PdCl<sub>2</sub>L.

Комплекс	Данные <sup>1</sup> Н ЯМР-спетроскопии	ν, cm <sup>-1</sup>
PdCl <sub>2</sub> L <sup>1</sup>	ДМСО, 500Гц: 3.22 (2H, м., CH <sub>2</sub> ); 3.44 (1H, м., CH <sub>2</sub> ); 3.61 (2H, м., CH <sub>2</sub> ); 3.90 (1H, м., CH <sub>2</sub> ), 4.57(2H, м., CH <sub>2</sub> ); 4.88(2H, м., CH <sub>2</sub> ); 7.47(1H, д., 9.08, Ar); 8.06(1H, д.д., $J_1$ = 9.1, $J_2$ = 2.7, Ar); 8.09(1H, c, Ar)	1520 (NO <sub>2</sub> ) 460, 293 (Pd-S) 318 (Pd-Cl)
PdCl <sub>2</sub> L <sup>2</sup>	ДМСО, 500Гц: 3.03 (8H, уш. м., 4CH <sub>2</sub> ); 3.71 (4H, уш. м., CH <sub>2</sub> ); 4.35 (4H, уш.м., 2CH <sub>2</sub> ); 7.19 (1H, д., <i>J</i> = 8.6, Ar), 7.75(1H, с., Ar); 7.92 (2H, д.д, <i>J</i> <sub>1</sub> = 8.6, <i>J</i> <sub>2</sub> = 1.8, Ar)	1515 (NO <sub>2</sub> ) 469, 357, 294 (Pd-S)
PdCl <sub>2</sub> L <sup>3</sup>	ССІ <sub>3</sub> D, 500Гц: 2.85 (4H, уш. м., 2СН <sub>2</sub> ); 3.75 (4H, уш. м., 2СН <sub>2</sub> ); 3.82 (4H, уш. м., 2СН <sub>2</sub> ); 4.18(2H, уш. м., СН <sub>2</sub> ), 4.27 (2H, уш. м., СН <sub>2</sub> ), 4.37 ((2H, уш. м., СН <sub>2</sub> ), 4.87 (2H, уш. м., СН <sub>2</sub> ), 7.07 (1H, д., <i>J</i> = 8.96, Ar), 7.90(1H, с., Ar); 8.00 (1H, д.д, <i>J</i> <sub>1</sub> = 8.2, <i>J</i> <sub>2</sub> = 1.5, Ar)	
PdCl <sub>2</sub> L <sup>4</sup>	СD <sub>3</sub> CN, 500Гц: 2.56 (4H, уш.м., 2CH <sub>2</sub> ); 2.90(4H, уш.с.,2CH <sub>2</sub> ); 3.52(4H, уш.м., 2CH <sub>2</sub> ); 3.70(4H, уш.м., 2CH <sub>2</sub> ); 3.77(2H, уш.с., CH <sub>2</sub> ); 3.88(2H, уш.с., CH <sub>2</sub> ); 4.21(2H, уш.с., CH <sub>2</sub> ); 4.45(2H, уш.с., CH <sub>2</sub> ); 4.65(2H, уш.с., CH <sub>2</sub> ); 7.02 (1H, д., <i>J</i> =8.5, Ar); 7.72(1H, с., Ar); 7.92(1H, д.д., <i>J</i> <sub>1</sub> =9.2, <i>J</i> <sub>2</sub> =2.44, Ar)	1521 (NO <sub>2</sub> ) 467, 359, 293 (Pd-S)

Однозначно установлено, что палладий(II), образуя плоскоквадратный комплекс *цис*-строения, координируясь с атомами серы макрогетероцикла и с атомами хлора, находится вне полости краун-соединения. Данный факт согласуется с литературными сведениями о

структуре комплексов палладия(II) с бидентатными макрогетероциклами [3]. Координация Pd(II) с макрогетероциклами через атомы серы подтверждается наличием полос поглощения в длинноволновых ИК спектрах полученных комплексов (табл. 2).

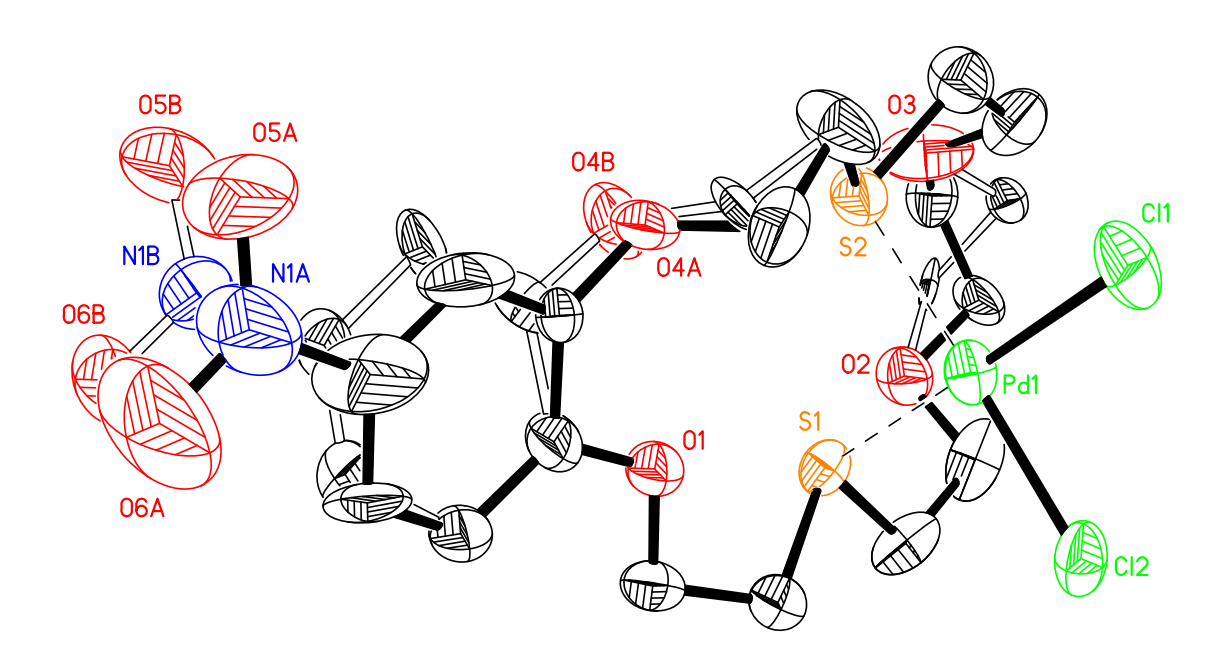


Рис. 1. Кристаллическая структура комплекса PdL<sup>3</sup>Cl<sub>2</sub>.

Полученные данные позволят сделать вывод о механизме экстракции и сорбции Pd(II) из растворов сложного состава высокоселективными макрогетероциклическими соединениями.

Электрохимический метод широко используется осуществления ДЛЯ различных технологических операций в процессах переработки первичного и вторичного содержащего сырья, платиновые металлы. Исследования области электрохимии платиновых металлов, а также золота И серебра, проводимые в течение ряда лет, были направлены на создание научных основ процессов их выделения из различных видов вторичного сырья, отличающихся по элементному, химическому и фазовому составу. Объектами исследований служили дезактивированные катализаторы, содержащие платину или палладий, а также полиметаллические материалы, в состав которых, наряду с благородными металлами, входят цветные и редкие металлы.

При переработке дезактивированных катализаторов, содержащих платину или палладий, по гидрометаллургической схеме

образуются соляносернокислые или растворы с концентрацией Pt (Pd) менее платиновых  $0.5 \, \Gamma/\pi$ . Для выделения металлов из таких растворов перспективно использовать электрохимический метод с применением электродов с высокоразвитой поверхностью [4, 5]. В настоящей работе в качестве электрода был использован новый материал волокнистый нетканый иглопробивной углеграфитовый материал – карбонеткалон, который обладает улучшенными электрофизическими свойстсравнению вами по известными аналогичными материалами.

Исследование катодной поляризации при выделении платины и палладия из модельных и технологических растворов позволило определить область потенциалов восстановлении активного металла зависимости ОТ состава раствора. Технологические опыты по определению оптимальных условий выделения металлов проводили в лабораторном электролизере проточного типа с применением в качестве катода двух модификаций карбонеткалона, основные характеристики которых приведены в табл. 3.

Таблица 3. Электрофизические характеристики карбонеткалона.

		<u>' 1 1 1 1 1 1 1 1 1 1 1 1 1 1 1 1 1 1 1</u>		
Марка	Радиус	Удельная		Удельное
карбонеткалона	волокна,	поверхность,	Пористость, %	электросопротивление,
кароонсткалона	MKM	${ m m}^2/\Gamma$		Ом-см
21	4.0	0.70	89	0.04
23	3.2	0.84	92	0.04

Изучено влияние потенциала катода и объемной скорости протока раствора на степень извлечения Pt (Pd) и выход по току. Ha рис. 2, 3 приведены результаты электролиза по извлечению платины из солянокислых растворов. Согласно приведенным результатам, наиболее эффективным материалом является карбонеткалон – 23, использование которого позволяет за одну стадию практически полностью извлекать платину раствора. Аналогичные результаты были получены для сернокислых платиносодержащих растворов и растворов, содержащих палладий.

Разработка новых электрохимических технологий комплексной переработки

полиметаллического сырья, содержащего благородные металлы, предполагала создание таких процессов, которые наряду экологической безопасностью, обеспечивали бы скорость высокую электрохимического процесса и высокую степень разделения компонентов. Такие процессы должны базироваться использовании более перспективных электролитов, а также на новых приемах осуществления электролиза (потенциостатический электролиз).

Для исследований в качестве электролитов были выбраны растворы, содержащие соединения серы — сернокислые, сульфаматные, тиокарбамидные, тиосульфатные.

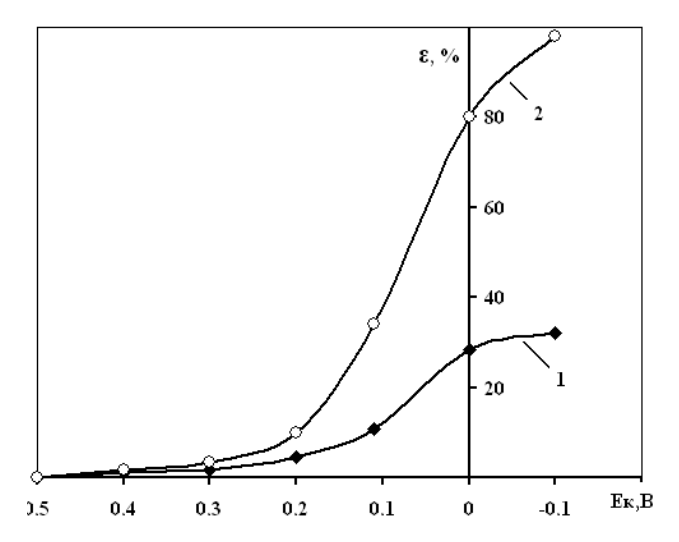


Рис. 2. Зависимость степени извлечения платины (ε, %) от потенциала катода. Материал катода:1 – карбонеткалон-21; 2 – карбонеткалон-23.

В наблюдается последние годы vвеличение публикаций изучению электрохимического поведения благородных металлов, в основном золота и серебра, тиокарбамидных И тиосульфатных растворах [6, 7]. В указанных электролитах было изучено анодное поведение платины, палладия, родия, иридия, золота, серебра, ряда цветных и редких металлов.

Проведенные исследования позволили определить последовательность растворения металлов зависимости потенциала что позволяет анода, прогнозировать их поведение в процессе анодного растворения. Одним из наиболее перспективных электролитов являются сульфаминовой растворы на основе В растворе сульфаминовой кислоты. (75  $\Gamma/\Pi$ ) была определена кислоты следующая последовательность растворения металлов В зависимости потенциала анода (относительно нормального водородного электрода):

, , <b>1</b> , ,	1 ' ' /
Потенциал	Растворяемые
анода более, В	металлы
-0.68	Sn, Zn
-0.43	Cd
-0.24	Pb
+0.25	Cu
+0.68	Aσ

В результате проведенных исследований было также установлено, что некоторые металлы (платина, родий,

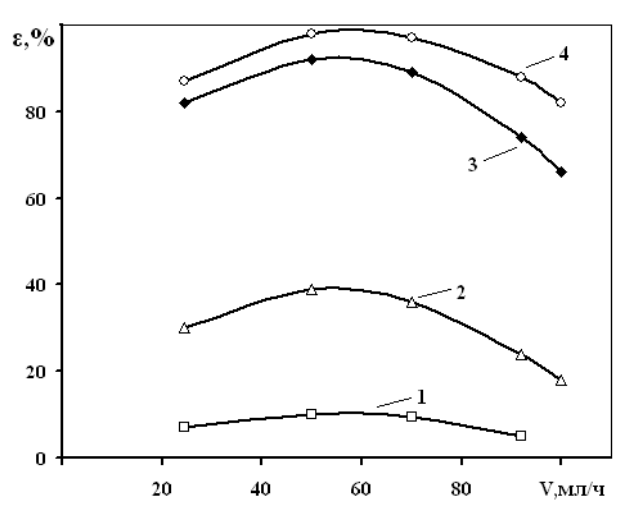


Рис. 3. Зависимость степени извлечения платины от скорости протока раствора (материал катода – карботенкалон-23).

Потенциал катода, B: 1-0.2; 2-0.1; 3-0.0; 4-(-0.1).

иридий) находятся в пассивном состоянии в широком диапазоне потенциала анода (до  $2.5\,$  В). Показано, что палладий и золото переходят в электролит лишь в области высоких значениях потенциала анода (более  $+1.80\,$  В) вследствие образования на их поверхности продуктов, приводящих к пассивации металлов. В случае золота, по нашему мнению, образуется сульфамат золота состава  $Au_x(NH_2SO_3)_y$ n $H_2O$ .

Возможность использования сульфаматного электролита для фракционного разделения компонентов полиметаллического сырья **УСЛОВИЯХ** потенциостатического электролиза была оценена на примере серебросодержащей металлической фракции лома изделий электронной техники состава, % масс.: 1.3 Zn; 3.0 Sn; 4.1 Pb; 0.7 Ag, остальное - Cu. Масса исходного материала составляла 100 г, концентрация сульфаминовой кислоты 75 время электролиза 2.5 ч, объем электролизера – 500 мл. Результаты электролиза приведены в табл. 4 и 5.

Результаты электролиза, приведенные в табл. 4, иллюстрируют распределение компонентов лома по продуктам электролиза в зависимости от потенциала анода. При потенциале анода +0.10 В (табл. 4) серебро и медь концентрируются в анодном остатке. Приведенные результаты свидетельствуют о перспективности использования сульфаматного электролита для

разделения компонентов полиметаллического сырья по фракциям путем изменения потенциала анода.

Таким образом, электрохимический

метод может быть применен для извлечения благородных металлов из растворов и получения их концентратов при переработке полиметаллических материалов.

Таблица 4. Результаты электролиза.

Потен-	Усло	овия	Убыль				Содержание в			
циал	электролиза		массы	Состав катодного продукта, %					электролите,	
анода,	анода, об-								г/л	
В	I <sub>нач.</sub> , А	U, B	разца, %	Sn	Pb	Cu	Ag	Zn	Ag	Zn
+0.10	1.0	1.1	7.0	69.9	31.1	н.о.*	Н.О.	Н.О.	Н.О.	2.0
+0.42	1.2	1.5	8.5	30.7	49.5	19.8	н.о.	н.о.	Н.О.	2.1
+0.62	1.5	1.9	11.0	20.1	48.6	31.0	0.3	н.о.	<10 <sup>-6</sup>	2.1

<sup>\*</sup>н.о. – не обнаружено

Таблица 5. Материальный баланс электролиза на 100 г исходного лома при потенциале анола +0.10 В

							иподс	i + 0.10 D	
Статьи	Pb		Sn		Z	'n	Ag		
баланса	Γ	%	Γ	%	Γ	%	Γ	%	
ВВЕДЕНО									
Лом (остальное	4.1		3.1		1.	3	0.7		
- Cu)									
ПОЛУЧЕНО									
Катодный	1.9	46	1.9	61.3	шо		11.0		
продукт	1.9	40	1.9	01.5	Н.О.	-	Н.О.	-	
Электролит	2.1	51.5	1.1	36.5	1.3	100	н.о.	-	
Анодный	11.0		11.0		11.0		0.66	94.3	
остаток	Н.О.	-	Н.О.	-	Н.О.	-	0.00	94.3	
ВСЕГО	4.0	97.5	3.0	97.8	1.3	100	0.66	94.3	
НЕВЯЗКА	0.1	2.5	0.1	2.2	0.0	-	0.04	5.7	

## ЛИТЕРАТУРА:

- 1. Абрамов А.А. //Хим. гетероцикл. соединений. 1997 № 8 С. 1125 1129.
- 2. Ещеулова О.В. Синтез и свойства производных бензотиа- и бензоазакраунсоединений: дисс. канд. хим. наук. Москва, 2001. 133 с.
  - 3. Буслаева Т.М. //Рос. хим. журнал. 2006 Т. L. № 4. С. 26 35.
  - 4. Варенцов В.К. //Цветные металлы. 2004. № 1. С. 43 46.
- 5. Варенцов В.К. //Изв. СО АН СССР. Сер. хим. 1984. № 17, вып. 6. С. 106 119.
  - 6. Шваб А.Ф. //Журн. прикл. химии. 2005. Т. 78, вып. 1. С. 86 89.
  - 7. Бек Р.Ю. //Электрохимия. 2006. Т. 42, № 4 С. 340 346.